

III-78 橫力を受ける杭の挙動 (その2)

法政大学工学部	正員	山門明雄
シ	シ	牟田親弘
ソ	学員	○徳永正博

1. 考え方

静的荷載を受ける单柱の挙動を示す基礎微分方程式は次のように表わされる。

$$EI \frac{d^4y}{dx^4} + BKx^m y^m = 0 \quad \dots \dots (1)$$

E ; クイの曲げ剛性 ($\text{kg} \cdot \text{cm}^2$)

x ; クイのタワミ (cm)

x ; 地表面からの深さ (cm)

B ; クイ幅 (cm)

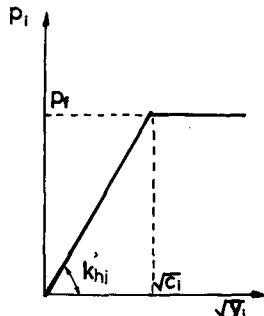
K ; 水平方向の地盤反力を表す係数

非線形弹性曲線法によれば、砂地盤についての横抵抗力に関する実験結果から $M=0.5$, $M=1$ とする藤原・久保の方法⁽¹⁾、また地盤によると $M=0.5$, $M=0$ とする林・宮島の方法がある。藤原・久保の実験における、非線形弹性曲線法における水平方向地盤反力係数 k_{hi} ($\text{kg}/\text{cm}^{2.5}$)、すなわち、タワミの平方根 \sqrt{y} ($\text{cm}^{0.5}$) とクイ面反力 p (kg/cm^2) のグラフを描き、それを直線で近似した勾配は、ほぼ直線関係式認められるが、これは無制限に成立するものではなく、タワミがある限度をこえるとクイ面反力はほとんど増加しないことを確かめている。藤原・久保の実験ではタワミ y が 1.5 cm をこえるあたりから、クイ面反力は急にフラットになる。これはクイ面反力が“歴歴抵抗の限界に達し、土成破壊状態に入ったことを結論づけている。そこで今回はクイ面反力が歴歴抵抗の限界に達することを考慮し、マトリックス法で演算を行なったので結果をここに報告する。

2. マトリックス法による表現

図-2 のようにクイを分割し、節点 i から $i+1$ の長さを Δx_i (cm)、断面 2 次モーメントを I_i (cm^4)、ヤニク係数を E (kg/cm^2) とし、横力は各節点に集中荷重として作用するものとする。⁽²⁾⁽³⁾ (1) 式の線形弹性曲線法をマトリックス表示すれば次のようになる。

$$D K^{-1} D y + E s y = P \quad \dots \dots (2)$$



タワミ-クイ面反力曲線

図-1

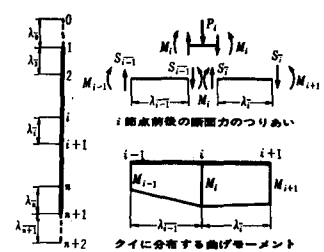


図-2

$D K^{-1} D^T$; 剛性マトリックス

\mathbf{y} ; タワミベクトル

E_s' ; 非線形弾性曲線法におけるバネ係数マトリックス

P ; 横カベクトル

(1)式の非線形弾性曲線法をマトリックス表示すれば次のようになる。

$$D K^{-1} D^T \mathbf{y} + E_s' \mathbf{y}^{0.5} = P \quad \dots \dots \dots (3)$$

E_s' ; 非線形弾性曲線法におけるバネ係数マトリックス

(2)式タワミベクトルは次のようになる。

$$\mathbf{y} = (D K^{-1} D^T + E_s')^{-1} P \quad \dots \dots \dots (4)$$

(3)式のタワミベクトル \mathbf{y} は Newton-Raphson 法で求めることができ。そして曲げモーメントベクトル M は次のようになる。

$$M = -K^{-1} D^T \mathbf{y} \quad \dots \dots \dots (5)$$

タワミベクトル \mathbf{y} , 曲げモーメントベクトル M が求まれば格間セクション力 $S_i (k_2)$ は次のようになる。

$$S_i = \frac{1}{\pi_{i+1}} (M_{i+1} - M_i) \quad \dots \dots \dots (6)$$

$$\text{また} \text{は}, \quad S_i = \frac{1}{\pi_i} (M_{i+1} - M_i) \quad \dots \dots \dots (7)$$

$f_{ii} = \pi_i / (6EI_i)$ とすれば、たわみ角 θ_i は次のようになる。

$$\theta_i = -f_{ii} (2M_i + M_{i-1}) + \frac{1}{\pi_{i-1}} (\mathbf{y}_i - \mathbf{y}_{i-1}) \quad \dots \dots \dots (8)$$

$$\theta_i = f_{ii} (M_{i+1} + 2M_i) + \frac{1}{\pi_i} (\mathbf{y}_{i+1} - \mathbf{y}_i) \quad \dots \dots \dots (9)$$

3. クイ面反力が極限値を持つ場合の処理

篠原・久保の実験によれば、図-1 のようにタワミ y_{ip} が 1.5 cm 以上になるとタワミの平方根 $\sqrt{\theta_i}$ クイ面反力 P_i 曲線は折線になるような傾向がみられる。この様な折線と仮定した場合の処理は、クイ面反力が受動折線の限界に達する水平変位が明らかな場合(図-1 では C_i)には、(3)式の解、すなわちタワミベクトル \mathbf{y} を Newton-Raphson 法で求めた後に、求めたタワミ θ_i と C_i を比較し、タワミが大きい場合には非線形弾性曲線法におけるバネ係数マトリックス E_s' と横カベクトル P を修正する。すなわち、番目のバネ係数を 0 とし、右辺の横カベクトル P の i 番目を $P_i - E_s' \sqrt{\theta_i}$ として逐次計算を行なえば処理することができる。限界クイ面反力 P_{ci} (kN/cm^2) がわかれ、これを場合(図-1 では P_{ci}) は、 P_{ci} に対応するタワミ C_i を計算し、上記と同様に処理すればよい。

なお実測長さ(kg/cm^2)を求めるために現場実験などから、タワミの平方根 $\sqrt{\theta_i}$ クイ面反力 P_i 曲線を作ることにあたって、曲線が原点を通らないことがあるが、バネ係数マトリックス E_s' および横カベクトル P を修正すればよい。

4. 数値計算例

計算に必要な数値を決定する実験例の入手が困難であるため、篠原・久保の数値を用いて、クイ面反力が極限値を持つ場合の計算を行なうことにして、 $\lambda = 70$ トーダー以下の値を採用した。この場合のクイ面反力の限界におけるタワミ C_0 は 1.5 cm と仮定した。

インゴットデーター

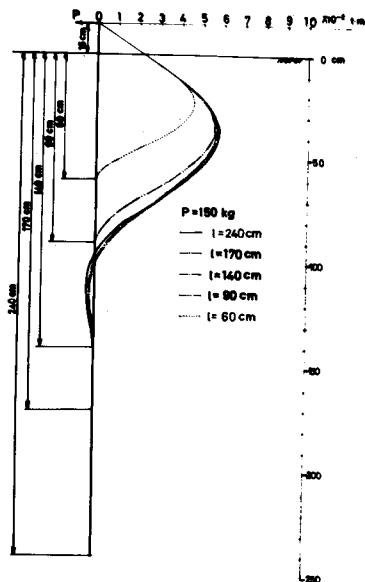
- ・クイの曲げ剛性モーメント I ; $2.754 \times 10^7 \text{ kg} \cdot \text{cm}^2$
- ・クイ幅 B ; 10 cm
- ・地上部の高さ h ; 15 cm
- ・篠原・久保の水平方向地盤反力係数 k_s ; $508/\text{cm}^{3.5}$
- ・根入れ長さ l ; 240, 170, 140, 90, 60 cm
- ・横力 P ; 50, 75, 100, 150, 200, 250, 300, 400 kg

・クイの上下端 ; 自由

演算結果の一例として、各根入れ長さに対する曲げモーメント分布を図-3に示す。またクイ頭のタワミ $y_1^{(0)}$ と、横力 $P^{(0)}$ の関係は図-4に示してある。根入れ長が有効長より小さくクイを短ゲイと称していいが、この短ゲイの挙動も容易に予測することができる。図-4の日EPはクイ面反力が極限値を持つ場合の演算結果であるが、顕著な相違がみられたのは $l=60\text{cm}$ の短ゲイである。たゞ $l=60\text{cm}$ のクイのクイ面反力が各横力に対する極限値に達する状態は図-5に示してある。横力が 200 kg の時はクイの下端が限界に達したので計算を打ち切った。図-4のクイ頭のタワミ $y_1^{(0)}$ と横力 $P^{(0)}$ のグラフより、短ゲイである $l=60\text{cm}$, $l=90\text{cm}$ のクイは横力が小さいうちには長ゲイの挙動を示していいが、横力が大きくなると従って短ゲイの挙動に移行していく過程が判る。

・ $l=60\text{cm}$ の根入れ長のクイでは横力 $P^{(0)}$ が、

各根入れ長に対する曲げモーメント分布図
図-3



クイ頭のタワミ $y_1^{(0)}$ と、横力 $P^{(0)}$ の関係

図-4

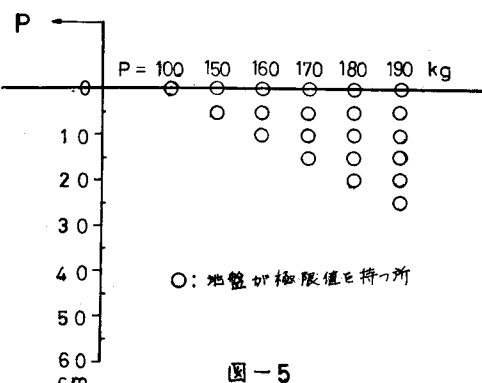
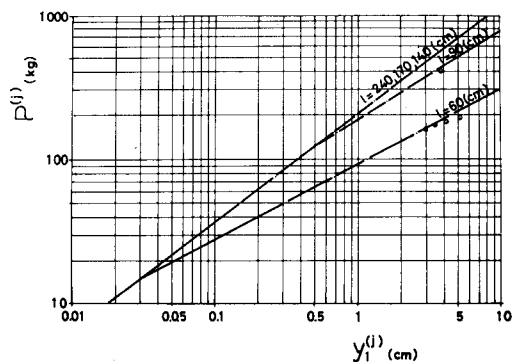


図-5

15.5 kg , $l = 90 \text{ cm}$ の クイでは横力 P^0 が 115 kg の時、長ゲイの運動から短ゲイの運動に移行して 113

。

5. 結び

短ゲイでは十分な根入れ長のあるクイに比して変位が大であり、クイの運動が根入れ長により影響を受け、変位や曲げモーメントの予測値が大きいとされてしまう。このエトトリックス法を使用すれば短ゲイの安定性も検討することができる。

よって本解法は、非線形弾性曲線法における水平方向地盤反力係数が決定されたれば、

1. 地盤が変化する場合の運動

2. 変断面ゲイの運動

3. 短ゲイの運動

などを求め得る時、有効である。

なお本研究の演算は東京大学大型計算機を使用しました。

参考文献

- (1) 藤原豊美雄、久保浩一；クイの横抜杭に関する実験的研究 (その1)
運輸技術研究所報告 (Vol. II, No. 6, 1961)
- (2) 早田親弘、山門明雄、大地羊三；エトトリックス法による横力を受けるクイの解法
土と基礎 (Vol. 19, No. 3, 1971)
- (3) 山門明雄、大地羊三、早田親弘；横力を受けるクイの運動
土木学会第24回年次学術講演会集 III p. 327 (1969)